

MODI – projekt I, zadanie 14

Adam Misiak 310204

Obiekt dynamiczny opisany jest ciągłym modelem w przestrzeni stanu

$$\begin{aligned}\frac{dx_1(t)}{dt} &= -\frac{T_1 + T_2}{T_1 T_2} x_1(t) + x_2(t) \\ \frac{dx_2(t)}{dt} &= -\frac{1}{T_1 T_2} x_1(t) + \frac{K}{T_1 T_2} (\alpha_1 u(t) + \alpha_2 u^2(t) + \alpha_3 u^3(t) + \alpha_4 u^4(t)) \\ y(t) &= x_1(t)\end{aligned}$$

gdzie:

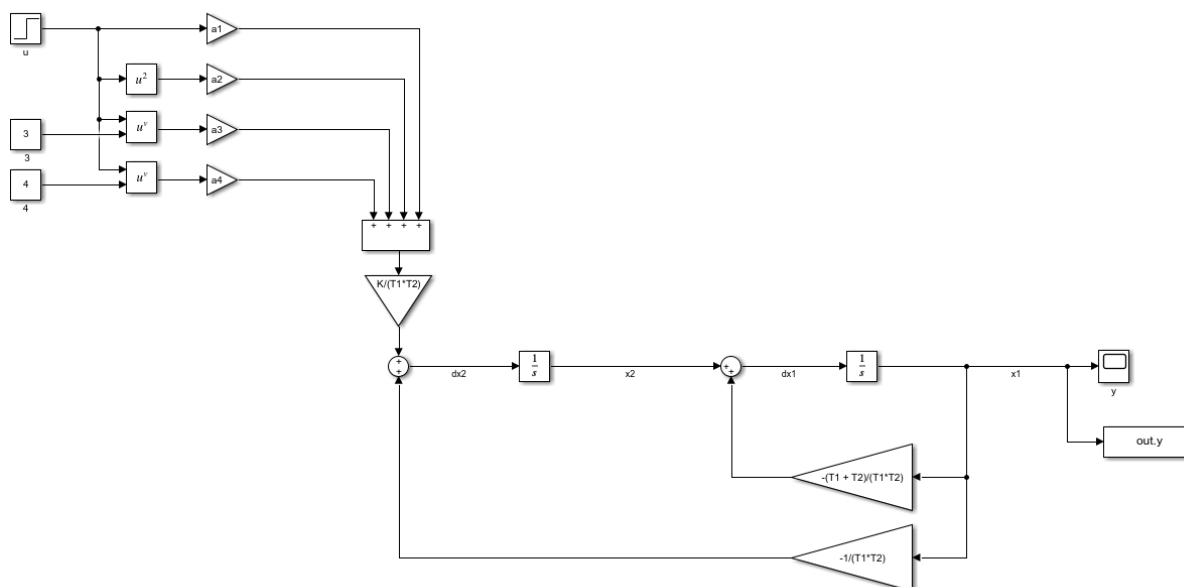
$K = 2$, $T_1 = 5$, $T_2 = 8$, $\alpha_1 = 0,32$, $\alpha_2 = 0,45$, $\alpha_3 = -0,29$, $\alpha_4 = -0,1$

Oraz

$-1 \leq u \leq 1$

Zad 1.

Narysować interpretację graficzną dynamicznego modelu ciągłego



Rys.1 zawartość pliku: ciagly_model_dynamiczny.slx

Zad 2.

Wyznaczyć równania dynamiczne modelu dyskretnego, narysować jego reprezentację graficzną

Równania dynamiczne modelu dyskretnego:

Jako T przyjmę czas próbkowania dla modelu dyskretnego.

x_1 :

$$\frac{x_1(k+1) - x_1(k)}{T} = -\frac{T_1 + T_2}{T_1 T_2} x_1(k) + x_2(k)$$

$$x_1(k+1) = \left(-T \frac{T_1 + T_2}{T_1 T_2} + 1\right) x_1(k) + T x_2(k)$$

x_2 :

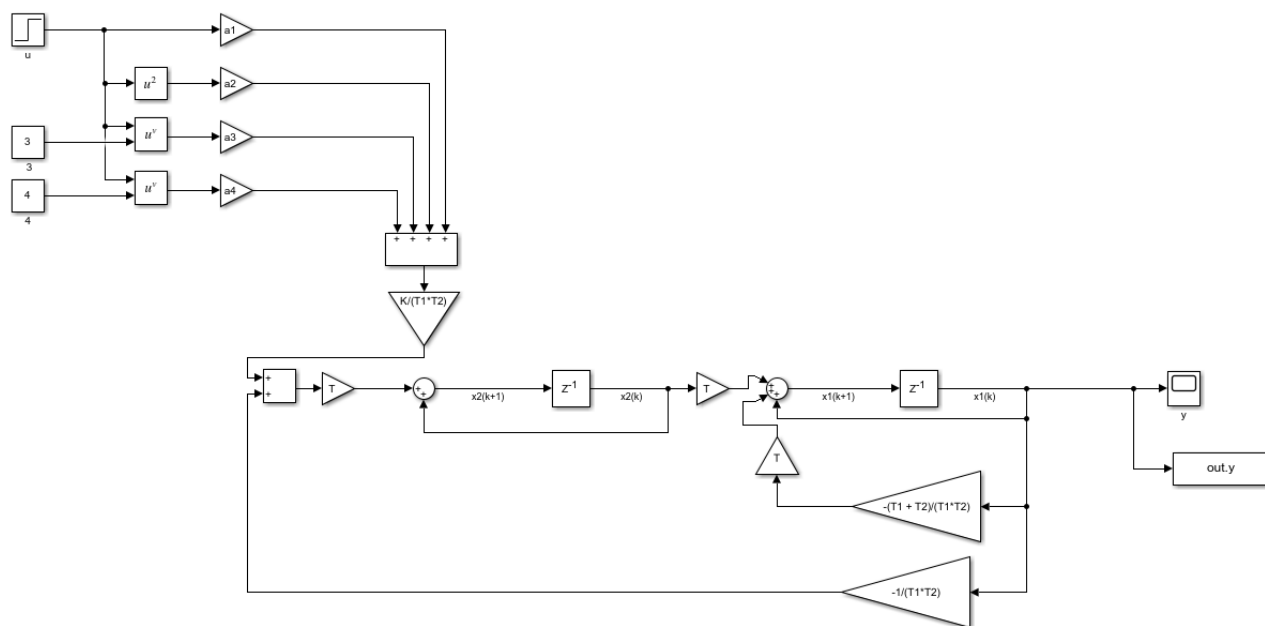
$$\begin{aligned} \frac{x_2(k+1) - x_2(k)}{T} = & -\frac{1}{T_1 T_2} x_1(k) + \frac{K}{T_1 T_2} (\alpha_1 u(k) + \alpha_2 u^2(k) \\ & + \alpha_3 u^3(k) + \alpha_4 u^4(k)) \end{aligned}$$

$$\begin{aligned} x_2(k+1) = & x_2(k) + T \left(-\frac{1}{T_1 T_2} x_1(k) + \frac{K}{T_1 T_2} (\alpha_1 u(k) + \alpha_2 u^2(k) \right. \\ & \left. + \alpha_3 u^3(k) + \alpha_4 u^4(k)) \right) \end{aligned}$$

y :

$$y(k) = x_1(k)$$

Reprezentacja graficzna modelu dyskretnego:



Rys. 2 zawartość pliku: dyskretny_model_dynamiczny.slx

Zad 3.

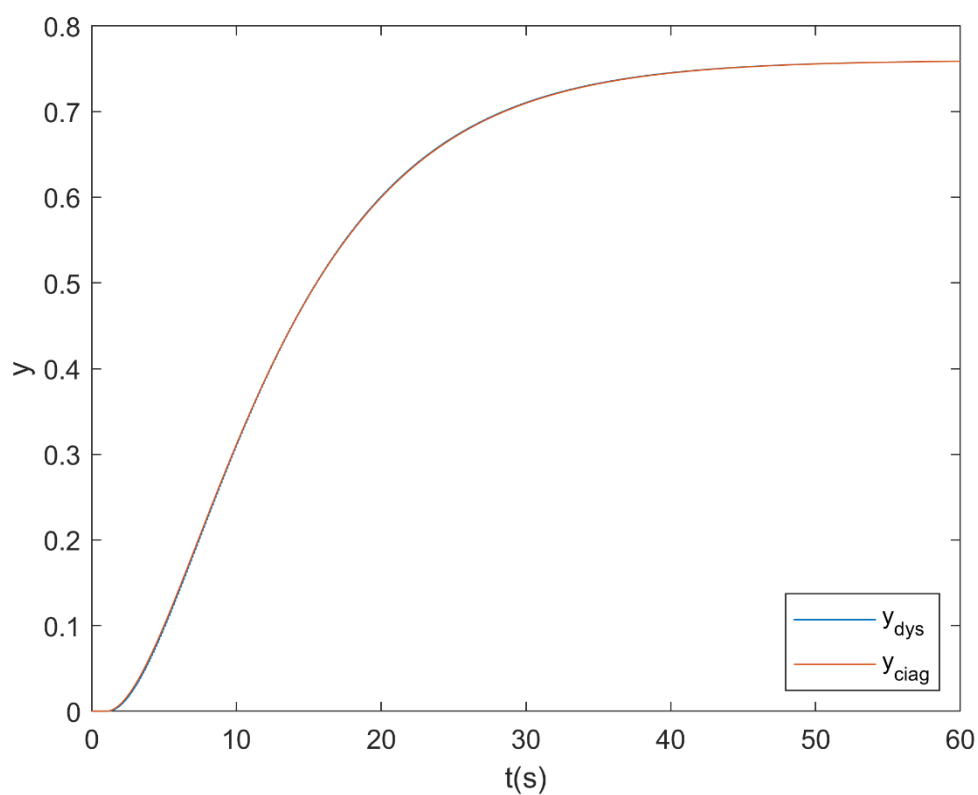
Zasymulować dynamiczny model ciągły i dyskretny dla tego samego skoku sygnału sterującego przy zerowych warunkach początkowych.

Odpowiedzi układów w zależności od czasu próbkowania T

Sygnał sterujący to skok jednostkowy w 1 sekundzie

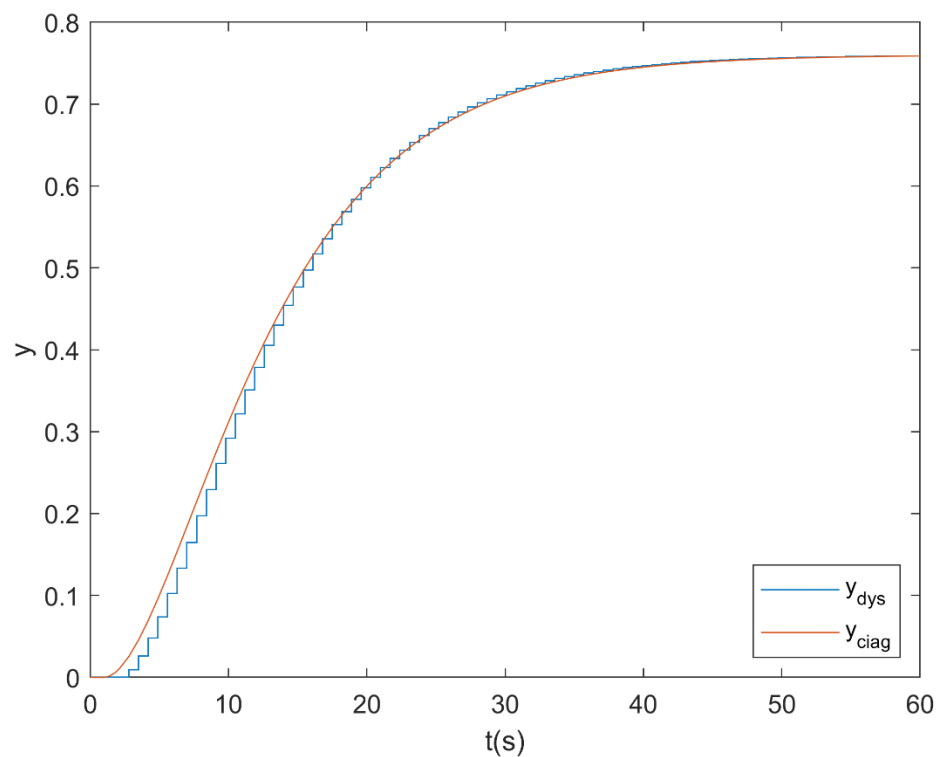
(Symulacje w pliku: *modele_dynamiczne.slx*)

$T = 0.1$



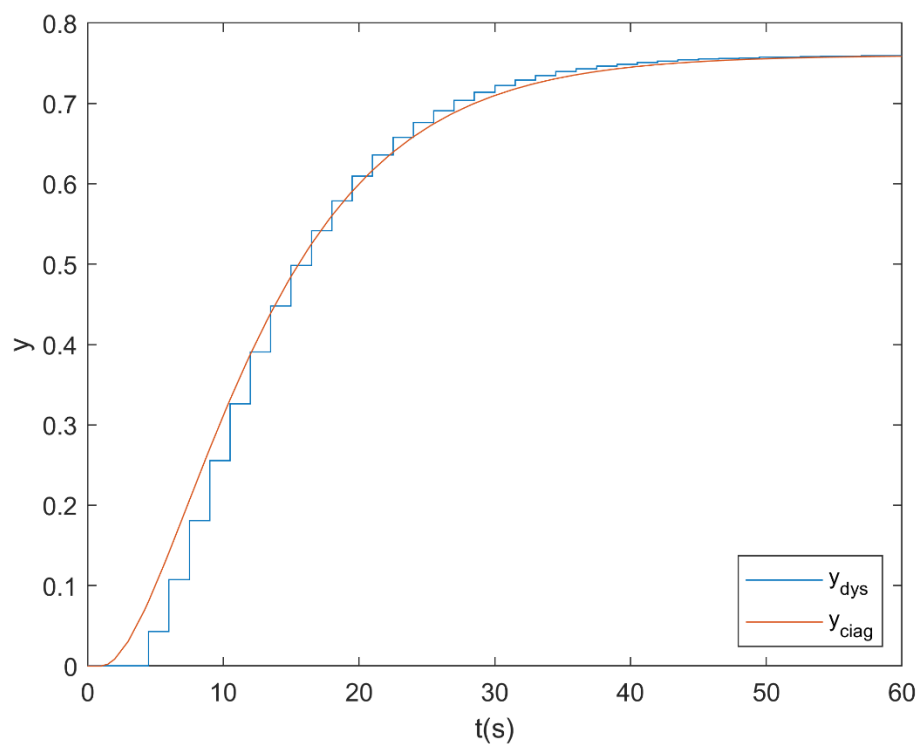
Rys. 3a Odpowiedź układów dla małego czasu próbkowania $T = 0.1$

$T = 0.7$



Rys. 3b Odpowiedź układów dla średniego czasu próbkowania $T = 0.7$

$T = 1.5$



Rys. 3c Odpowiedź układów dla dużego czasu próbkowania $T = 1.5$

Wnioski:

Wraz ze zwiększaniem czasu próbkowania T , model dynamiczny coraz mniej dokładnie odwzorowuje model ciągły (na wykresie możemy zaobserwować coraz większe schody)

Zad 4.

Na podstawie dynamicznego modelu dyskretnego wyznaczyć wzór i narysować charakterystykę statyczną $y(u)$

Wyprowadzanie charakterystyki statycznej

1)

$$x_1(k+1) = x_1(k)$$

$$x_1(k+1) = \left(-T \frac{T_1 + T_2}{T_1 T_2} + 1\right) x_1(k) + T x_2(k)$$

$$0 = \left(-T \frac{T_1 + T_2}{T_1 T_2}\right) x_1(k) + T x_2(k)$$

$$x_2 = \frac{T_1 + T_2}{T_1 T_2} x_1$$

2)

$$x_2(k+1) = x_2(k)$$

$$x_2(k+1) = x_2(k) + T \left(-\frac{1}{T_1 T_2} x_1(t) + \frac{K}{T_1 T_2} (\alpha_1 u(t) + \alpha_2 u^2(t) + \alpha_3 u^3(t) + \alpha_4 u^4(t)) \right)$$

$$0 = T \left(-\frac{1}{T_1 T_2} x_1(t) + \frac{K}{T_1 T_2} (\alpha_1 u(t) + \alpha_2 u^2(t) + \alpha_3 u^3(t) + \alpha_4 u^4(t)) \right)$$

$$x_1 K (\alpha_1 u + \alpha_2 u^2 + \alpha_3 u^3 + \alpha_4 u^4)$$

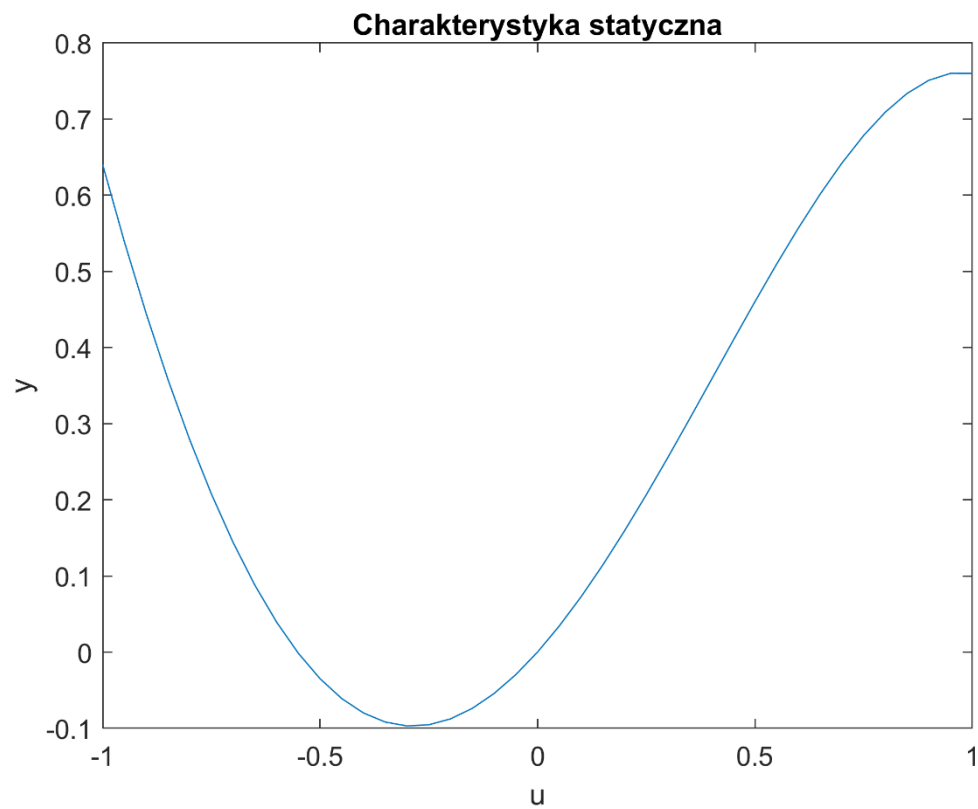
3)

$$y = x_1$$

$$y(u) = K (\alpha_1 u + \alpha_2 u^2 + \alpha_3 u^3 + \alpha_4 u^4)$$

Wzór na charakterystykę statyczną $y(u)$:

$$y(u) = \frac{16u}{25} + \frac{9u^2}{10} - \frac{29u^3}{50} - \frac{u^4}{5}$$



Rys. 4 Charakterystyka statyczna

Zad 5.

Wyznaczyć analitycznie charakterystykę statyczną zlinearyzowaną w dowolnym punkcie \bar{u} .

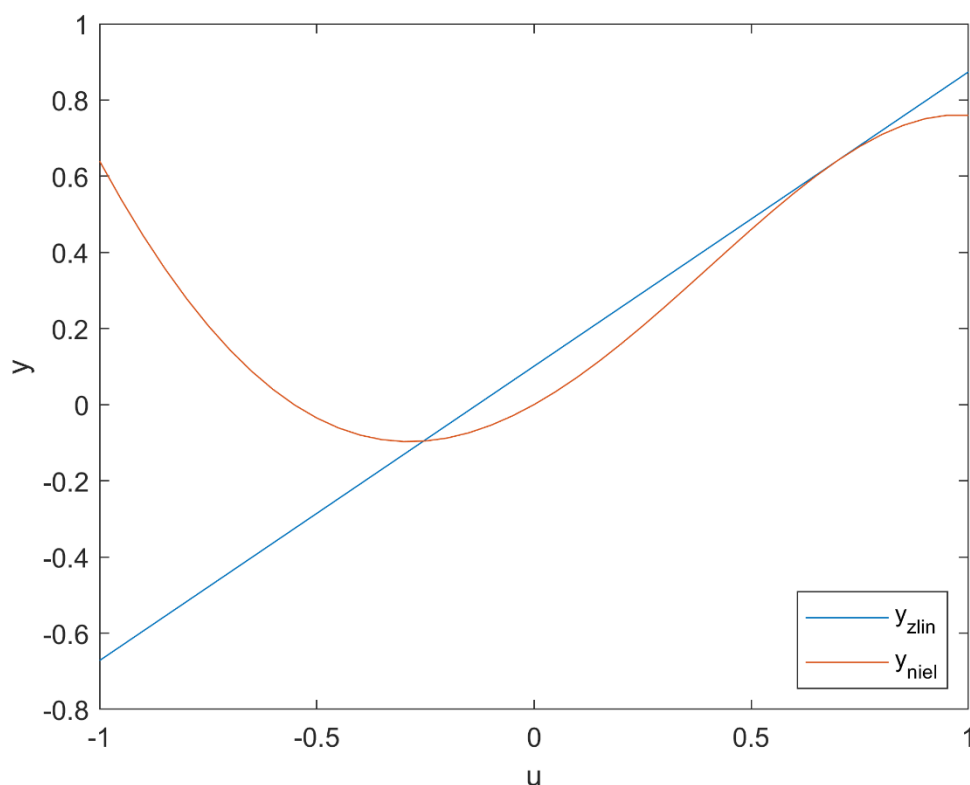
Wzór po zlinearyzowaniu:

$$y(u) \approx \frac{u(-40\bar{u}^3 - 87\bar{u}^2 + 90\bar{u} + 32)}{50} - \frac{9\bar{u}^2}{10} + \frac{29\bar{u}^3}{25} + \frac{3\bar{u}^4}{5}$$

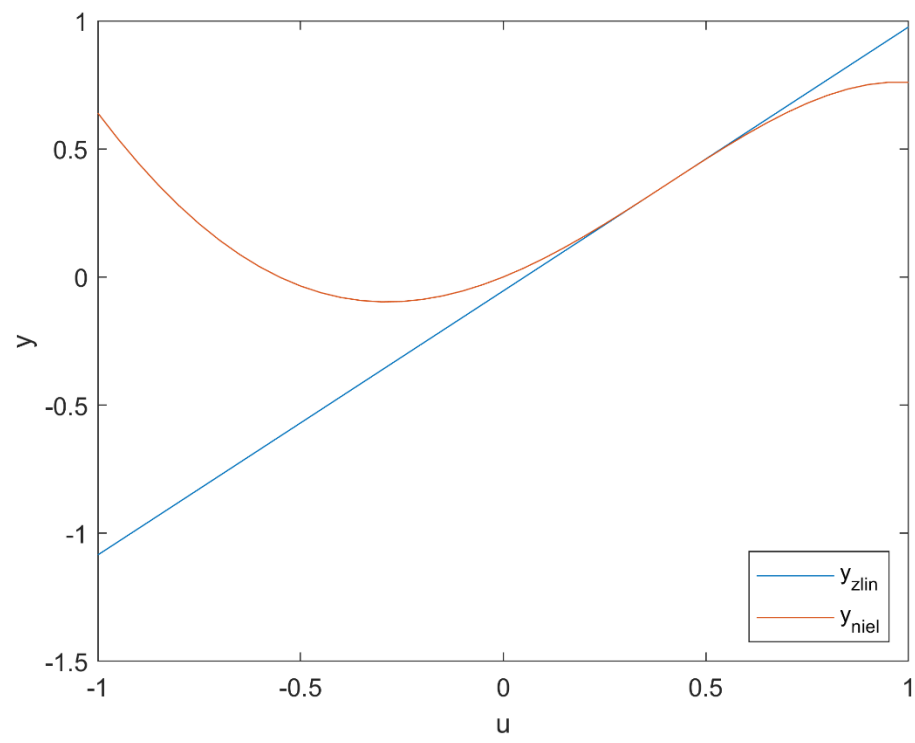
Zad 6.

Narysować zlinearyzowaną charakterystykę statyczną na tle charakterystyki nieliniowej.

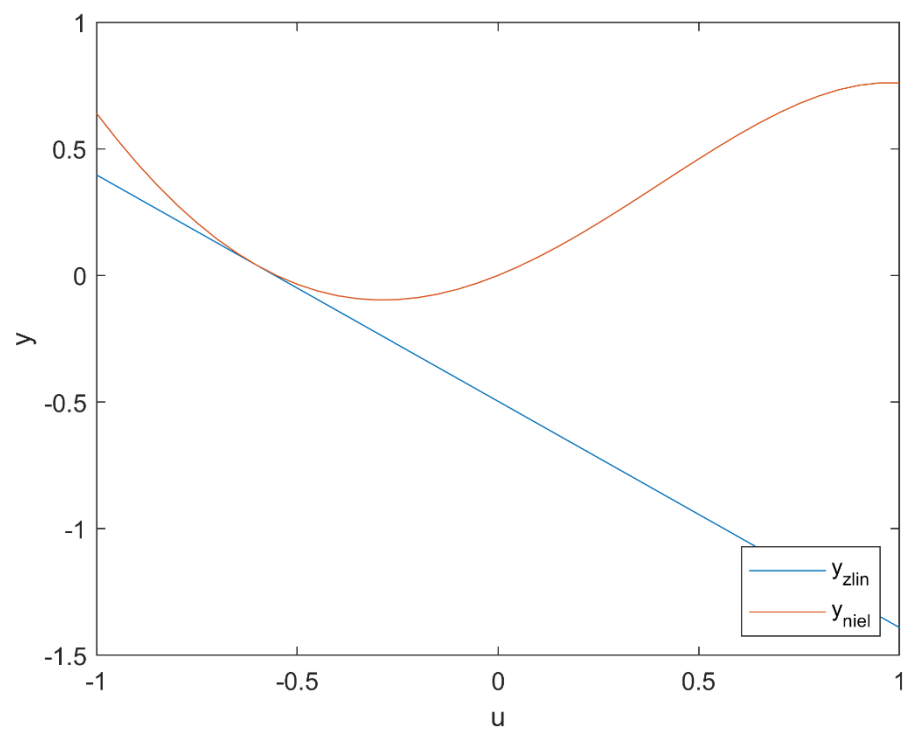
$$\bar{u} = 0.7$$



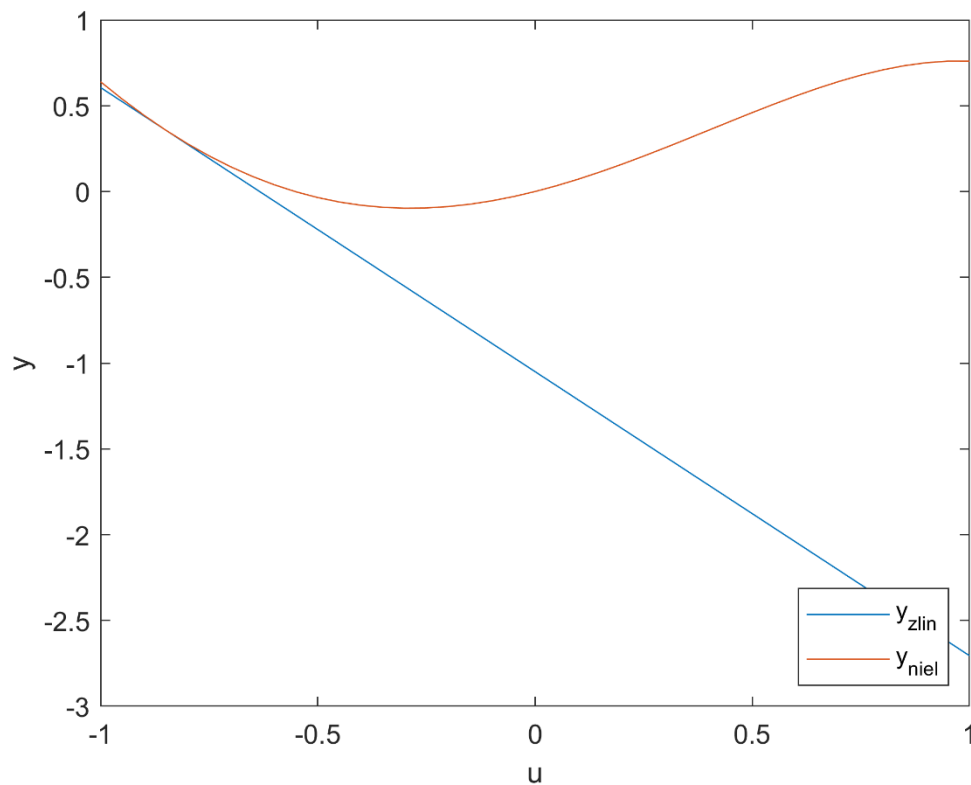
$\bar{u} = 0.4$



$\bar{u} = -0.6$



$$\bar{u} = -0.85$$



Wnioski:

Cieężko jest wyznaczyć punkt, który dawałby dobre rezultaty (funkcja zlinearyzowana na stosunkowo długim odcinku odzwierciedlałaby funkcję nieliniową) dla całej charakterystyki, jednakże w podanym przedziale dobre dopasowanie osiąga charakterystyka zlinearyzowana w punkcie $\bar{u} = 0.7$ oraz $\bar{u} = 0.4$

Zad 7.

Wyznaczyć analitycznie dynamiczny dyskretny model zlinearyzowany w dowolnym punkcie \bar{u} .

W członie x_2 występuje nieliniowość w postaci nieliniowego sygnału sterującego, linearyzując x_2 otrzymujemy następujące równania zlinearyzowanego dynamicznego modelu dyskretnego

x_1 :

$$x_1(k+1) = \left(-T \frac{T_1 + T_2}{T_1 T_2} + 1\right) x_1(k) + T x_2(k)$$

x_2 :

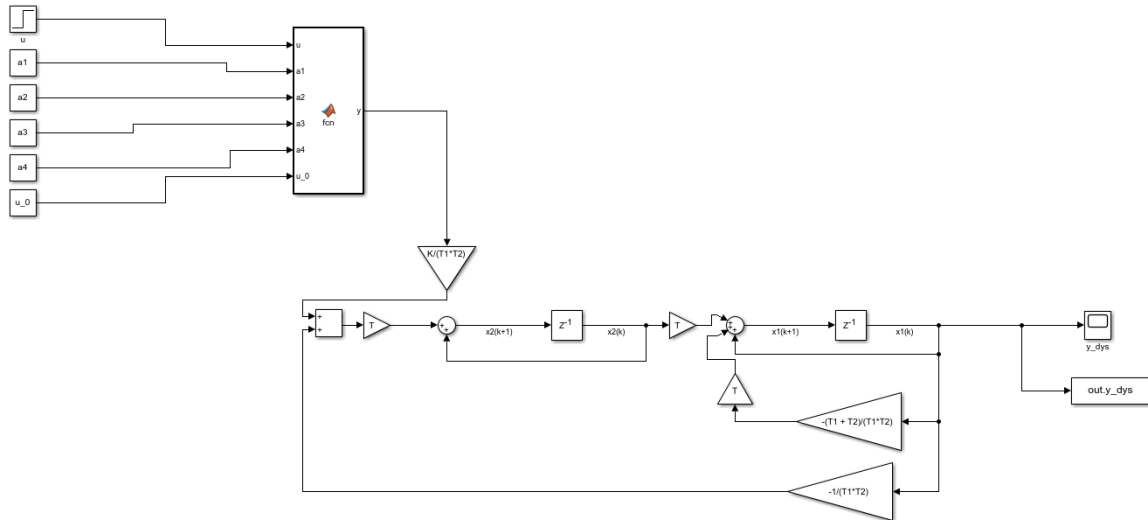
$$x_2(k+1) = x_2(k) + T \left(-\frac{1}{T_1 T_2} x_1(k) + \frac{K}{T_1 T_2} (\alpha_1 u(k) + \alpha_2 (\bar{u}^2 + 2\bar{u}(u - \bar{u})) + \alpha_3 (\bar{u}^3 + 3\bar{u}^2(u - \bar{u})) + \alpha_4 (\bar{u}^4 + 4\bar{u}^3(u - \bar{u}))) \right)$$

y :

$$y(k) = x_1(k)$$

Zad 8.

Narysować reprezentację graficzną zlinearyzowanego dynamicznego modelu dyskretnego



Rys. 8 zawartość pliku: zlinearyzowany_dyskretny_model_dynamiczny.slx

Gdzie zawartość bloku MATLAB Function jest następująca:

```
function y = fcn(u,a1,a2,a3,a4,u_0)
y = a1* u + a2*((u_0)^2 + 2*u_0*(u-u_0)) + a3*((u_0)^3 + 3*(u_0^2)*(u-u_0)) + a4*((u_0)^4 + 4*(u_0^3)*(u-u_0));
end
```

Zad 9.

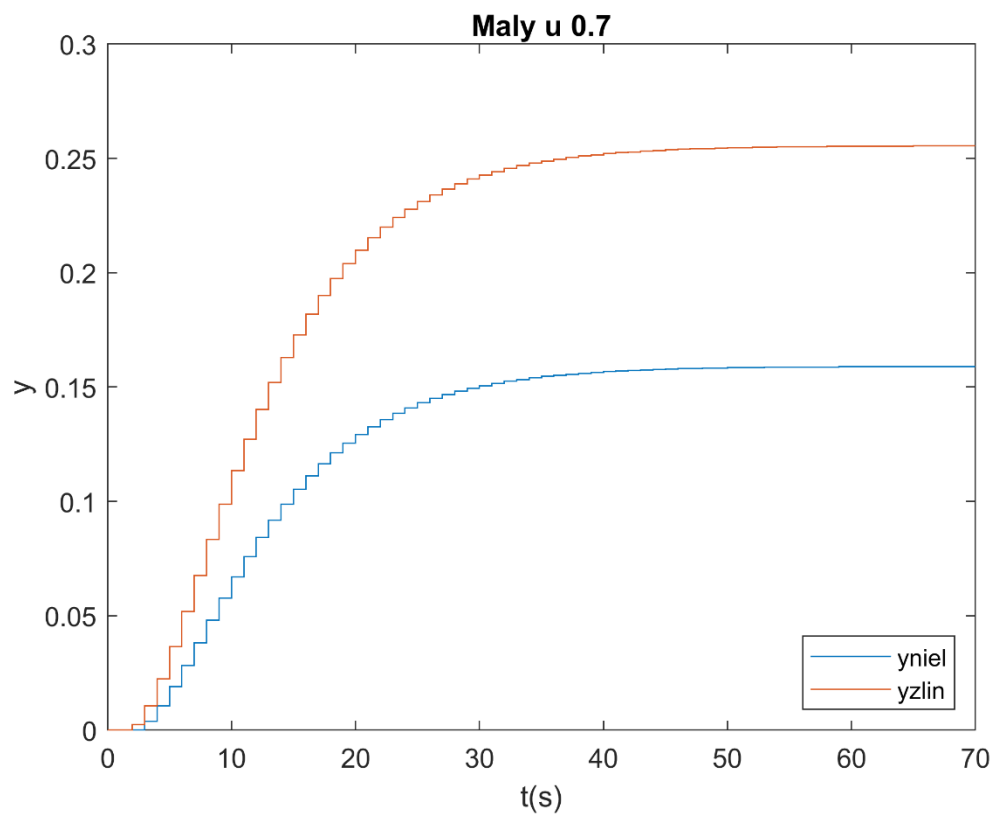
Zasymulować dynamiczny model dyskretny w wersji nieliniowej i zlinearyzowanej.

(Symulacje w pliku: modele_dyskretne.slx)

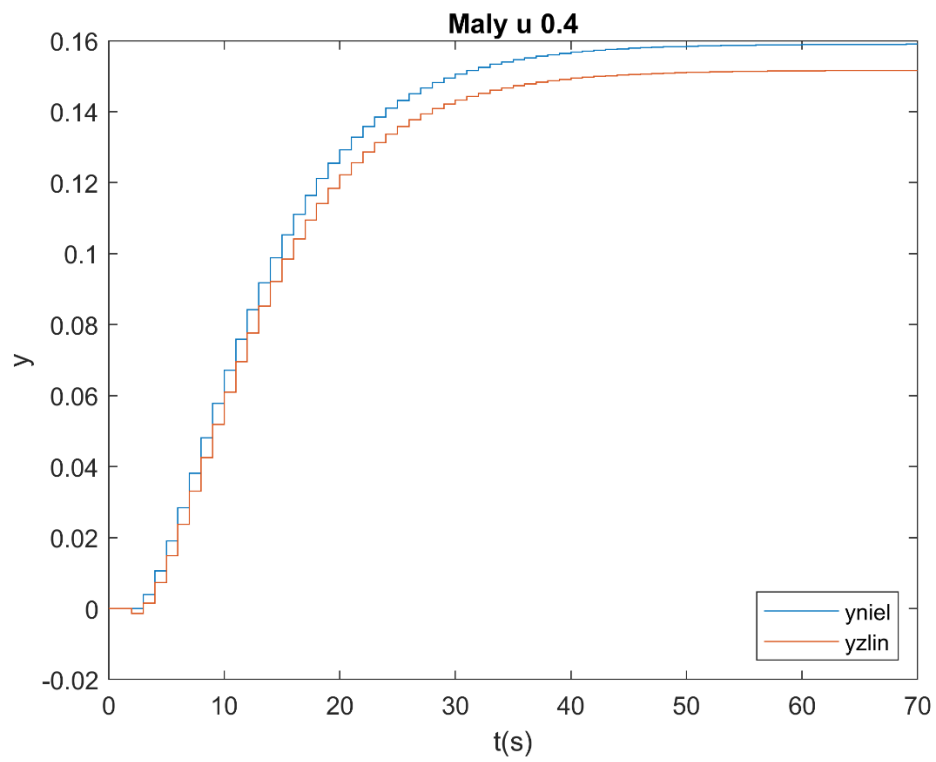
Mały sygnał sterujący:

Skok \bar{u} z 0 do 0.2 w 1 sekundzie:

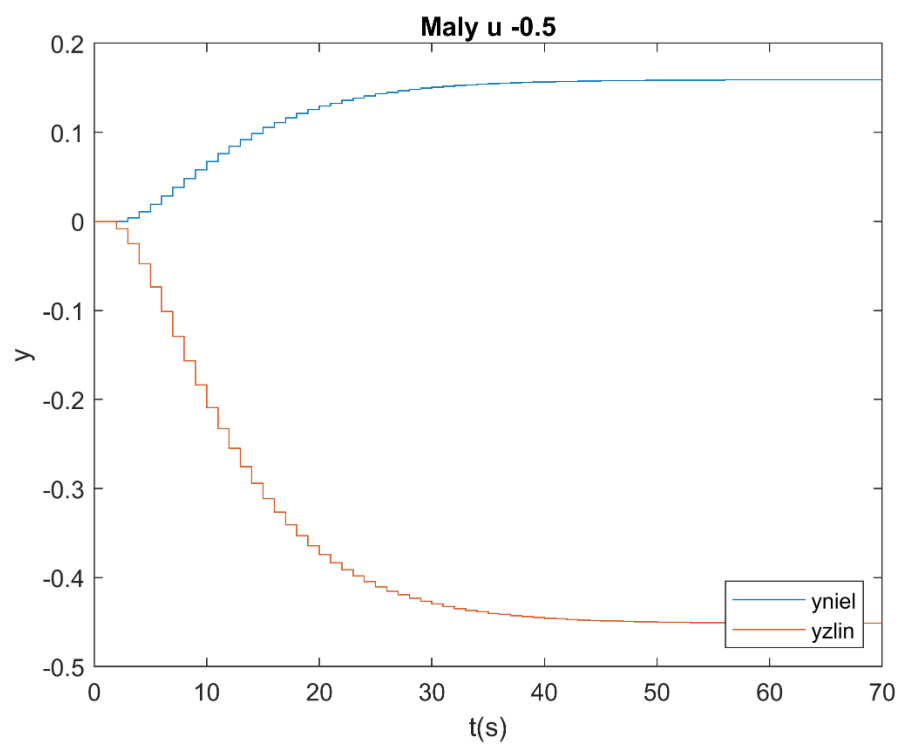
$\bar{u} = 0.7$



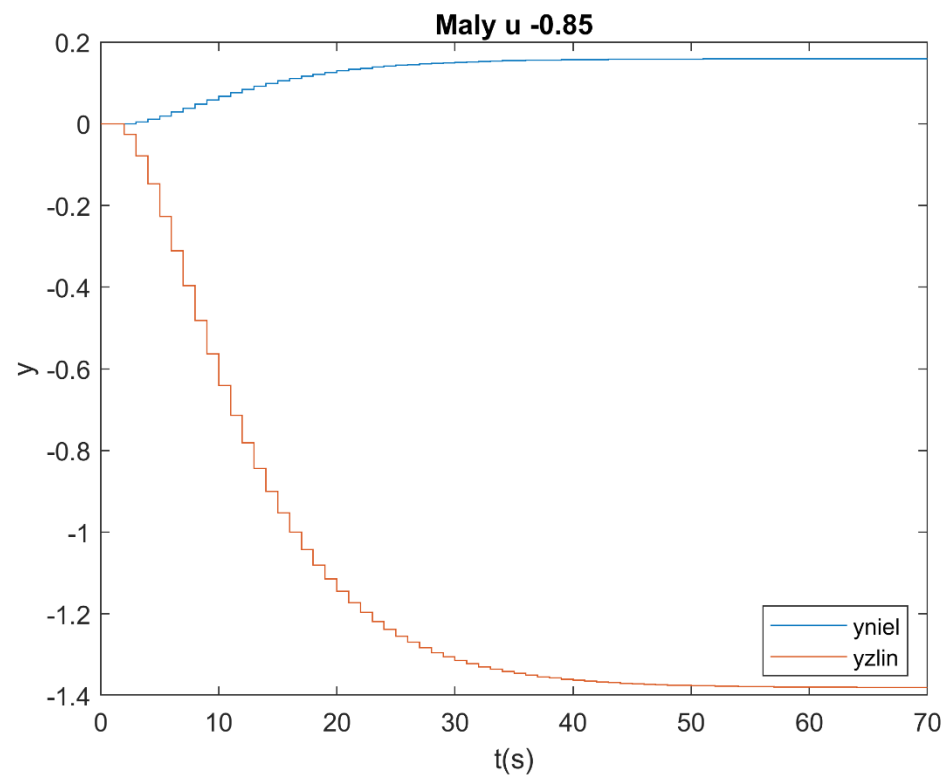
$$\bar{u} = 0.4$$



$$\bar{u} = -0.5$$



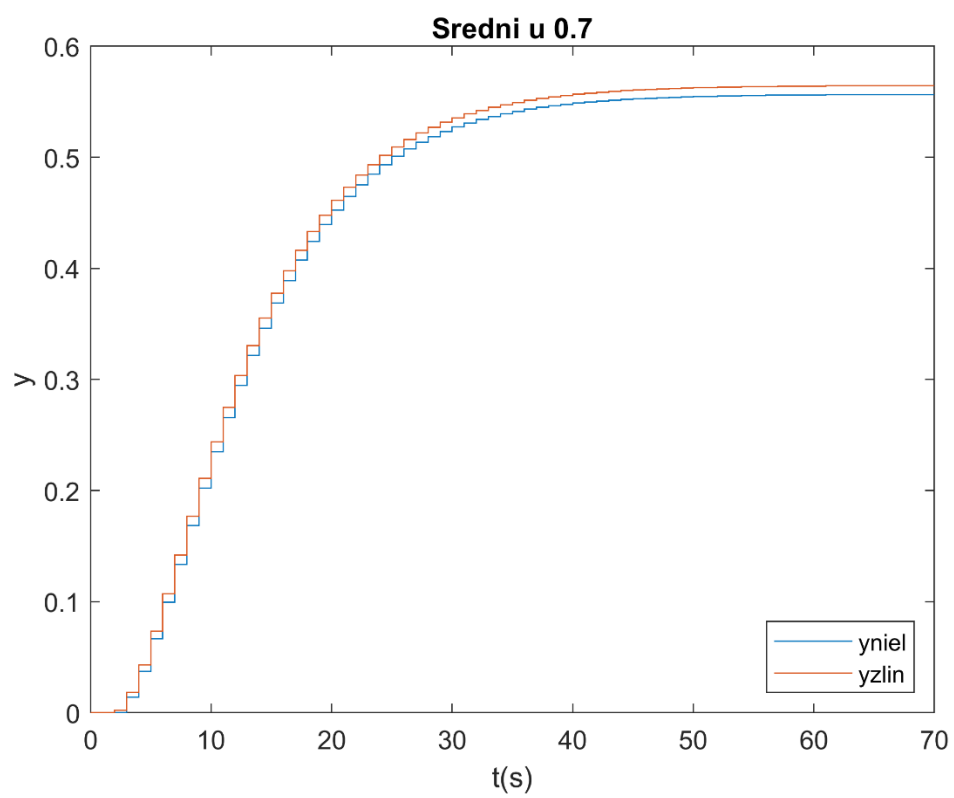
$$\bar{u} = -0.85$$



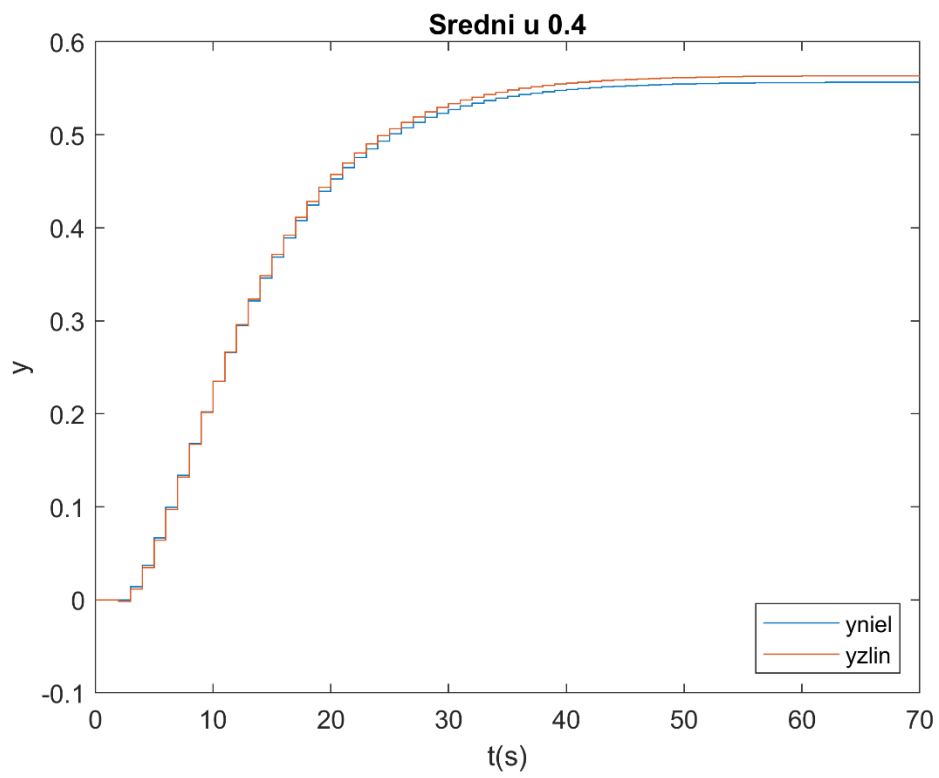
Średni sygnał sterujący:

Skok u z 0 do 0.6 w 1 sekundzie:

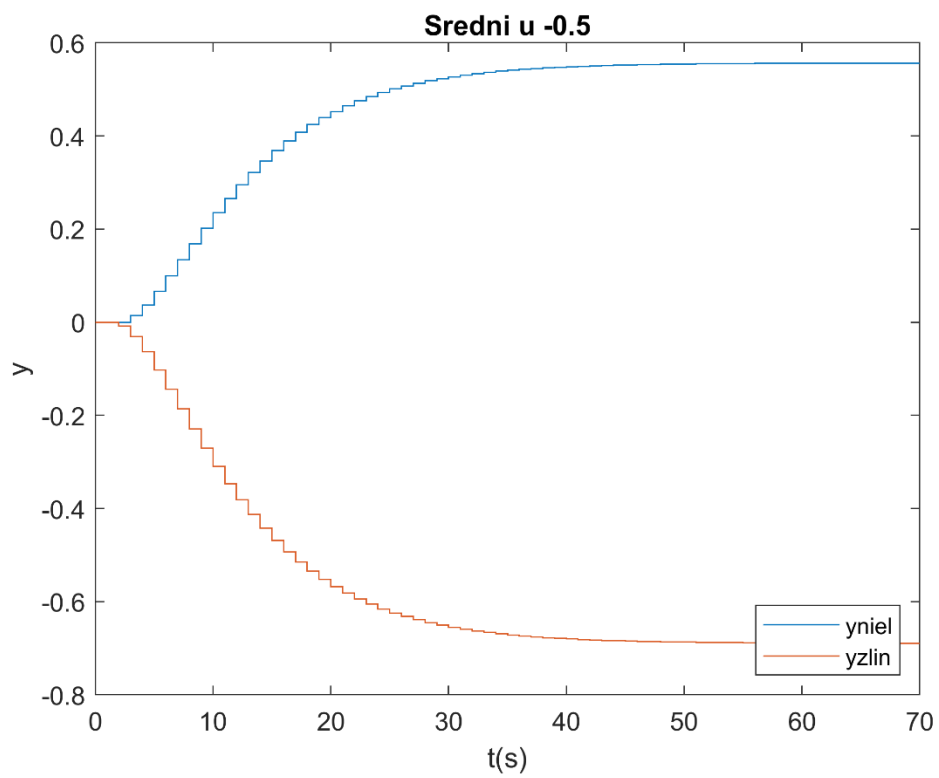
$$\bar{u} = 0.7$$



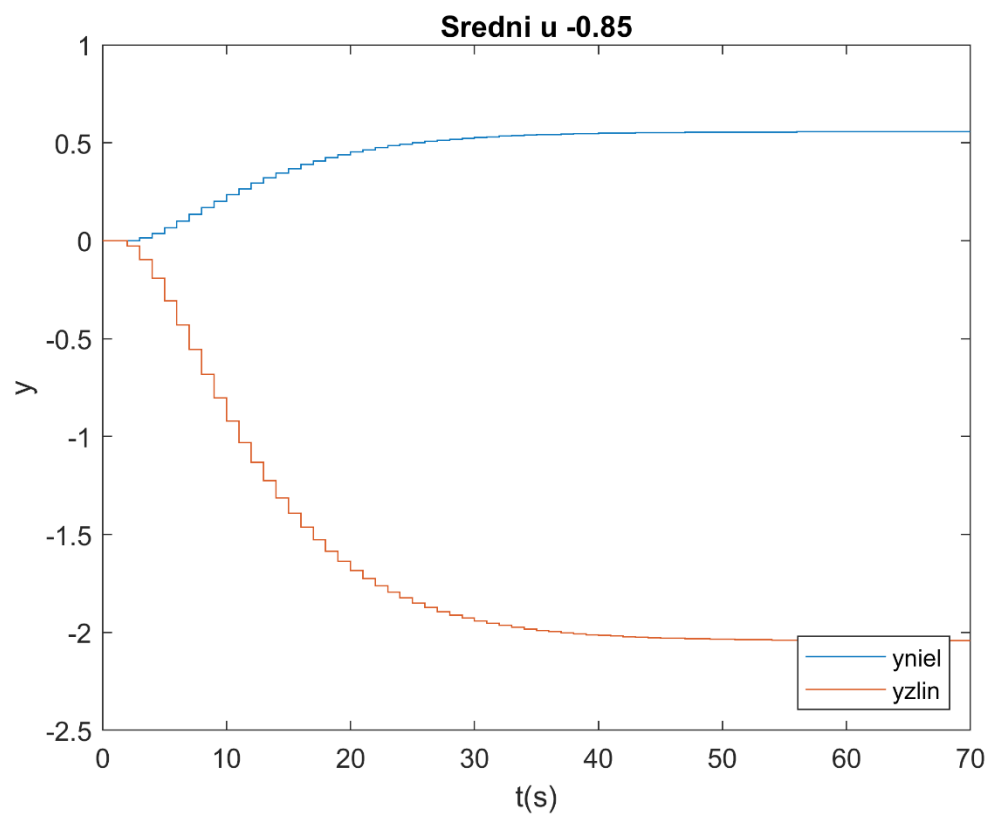
$$\bar{u} = 0.4$$



$$\bar{u} = -0.5$$



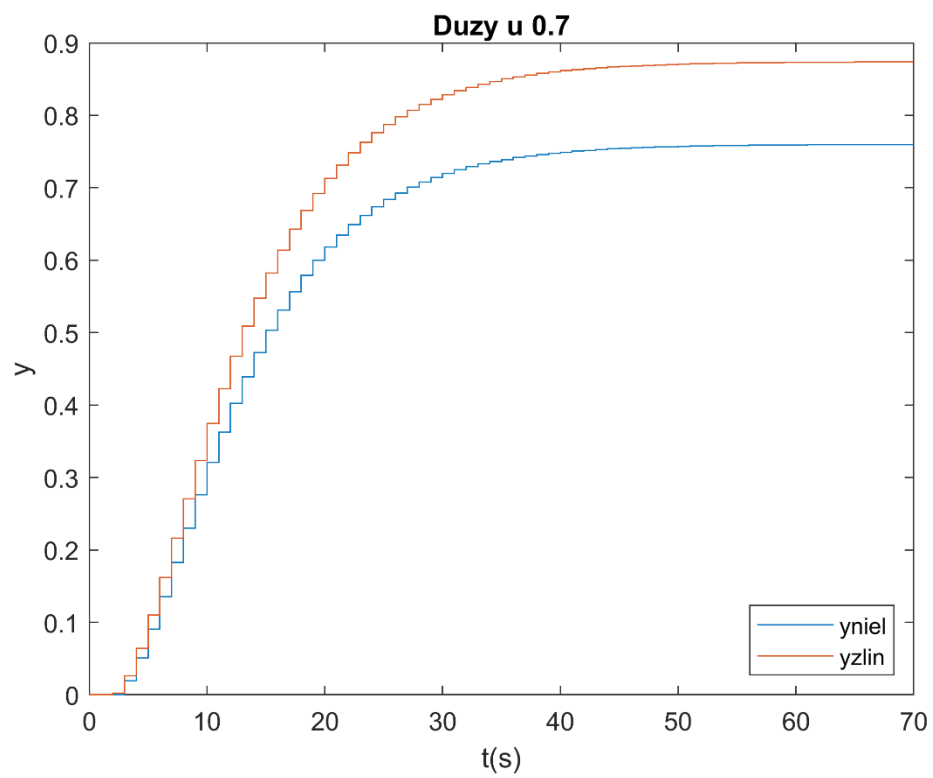
$$\bar{u} = -0.85$$



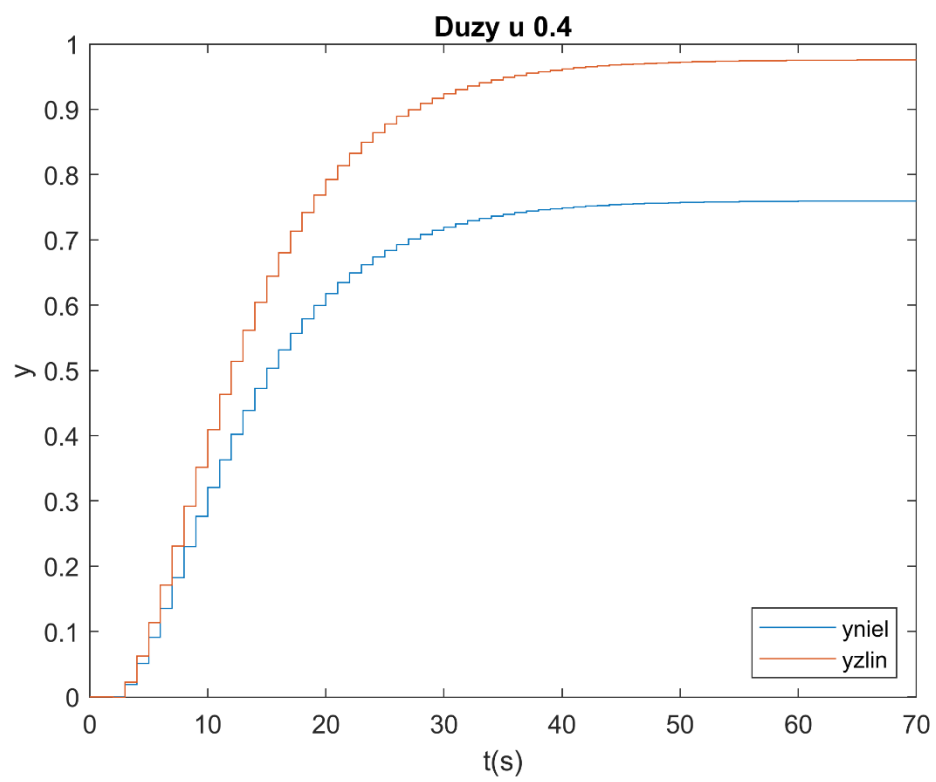
Duży sygnał sterujący:

Skok u z 0 do 1 w 1 sekundzie:

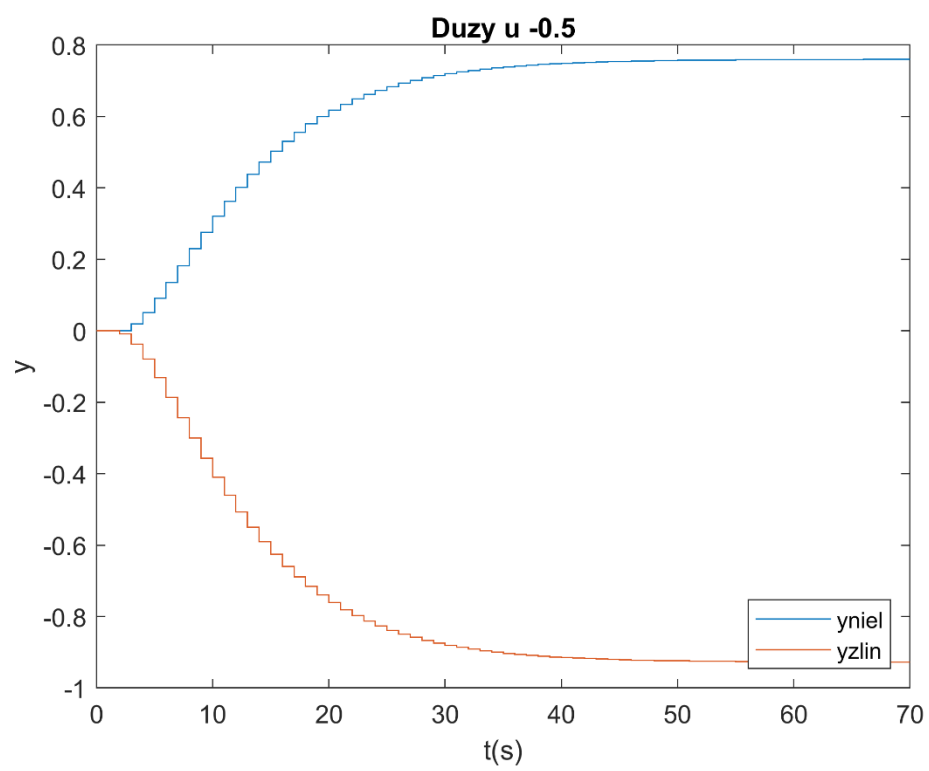
$$\bar{u} = 0.7$$



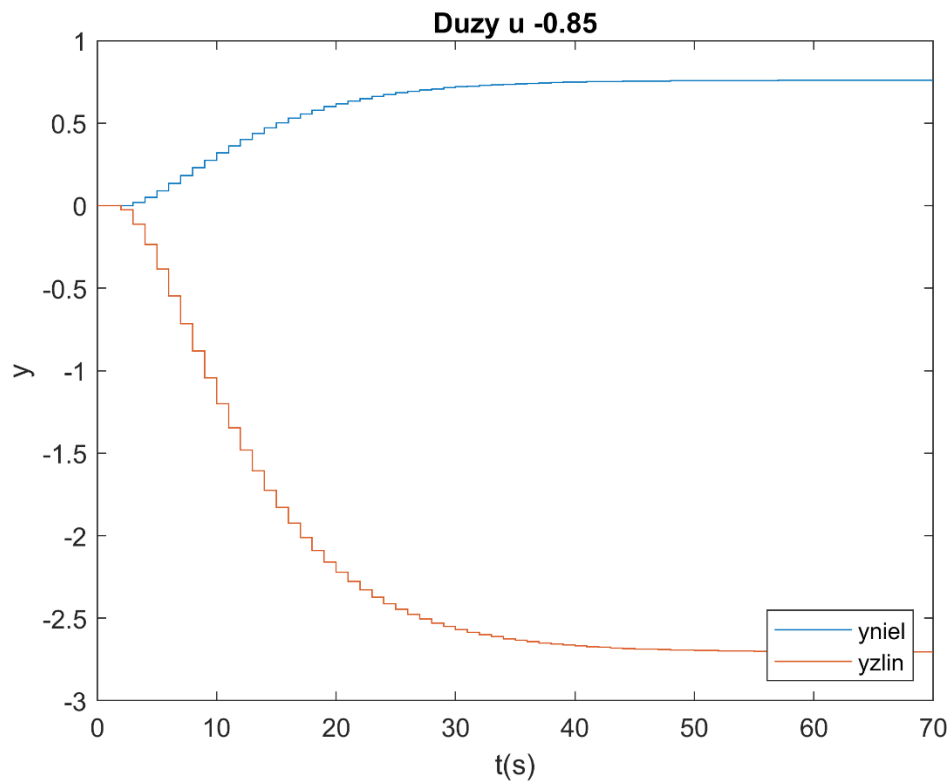
$$\bar{u} = 0.4$$



$$\bar{u} = -0.5$$



$$\bar{u} = -0.85$$



Wnioski:

Można zauważyć, że jakość śledzenia funkcji zlinearyzowanej nie zależy wyłącznie od punktu linearyzacji \bar{u} , ale także od wielkości skoku jednostkowego.

W przypadku \bar{u} wynoszących -0,5 oraz -0,85 przebieg funkcji w żadnym wypadku nie zgadza się z przebiegiem funkcji nieliniowej, powodem może być przeciwne nachylenie prostej stycznej w tych punktach linearyzacji w stosunku do prostej stycznej dla u z przedziału $(0, 1)$

Z eksperymentu wynika, że najlepiej używać punktu linearyzacji z sąsiedztwa wartości skoku jednostkowego.

Zad 10.

Na podstawie zlinearyzowanego dynamicznego modelu dyskretnego wyznaczyć odpowiadającą mu transmitancję

Należy uporządkować wcześniej zlinearyzowany dynamiczny model dyskretny:

x_1 :

$$x_1(k+1) = \left(-T \frac{T_1 + T_2}{T_1 T_2} + 1\right) x_1(k) + T x_2(k)$$

x_2 :

$$x_2(k+1) = x_2(k) + T \left(-\frac{1}{T_1 T_2} x_1(k) + \frac{K}{T_1 T_2} (\alpha_1 u(k) + \alpha_2 (\bar{u}^2 + 2\bar{u}(u - \bar{u})) + \alpha_3 (\bar{u}^3 + 3\bar{u}^2(u - \bar{u})) + \alpha_4 (\bar{u}^4 + 4\bar{u}^3(u - \bar{u}))) \right)$$

y :

$$y(k) = x_1(k)$$

Z równań tych wyznaczyłem macierze równań stanu potrzebne do wyznaczenia transmitancji:

$$A = \begin{bmatrix} -T \frac{T_1 + T_2}{T_1 T_2} + 1 & T \\ -\frac{T}{T_1 T_2} & 1 \end{bmatrix}$$

$$B = \begin{bmatrix} 0 \\ \frac{TK}{T_1 T_2} (\alpha_1 + \alpha_2 2\bar{u} + \alpha_3 3\bar{u}^2 + \alpha_4 4\bar{u}^3) \end{bmatrix}$$

$$C = [1 \quad 0]$$

$$D = 0$$

Posiadając macierze równań stanu możemy obliczyć transmitancję dynamicznego modelu dyskretnego ze wzoru:

$$G(z) = C(z \cdot I - A)^{-1} B + D$$

Transmitancja $G(z)$ wynosi:

$$G(z) = \frac{-40 T^2 \bar{u}^3 - 87 T^2 \bar{u}^2 + 90 T^2 \bar{u} + 32 T^2}{2000 z^2 + (650 T - 4000) z + 50 T^2 - 650 T + 2000}$$

Gdzie T to okres próbkowania

Zad 11.

Wyznaczyć wzmocnienie statyczne K_{stat} w zależności od punktu linearyzacji \bar{u} .

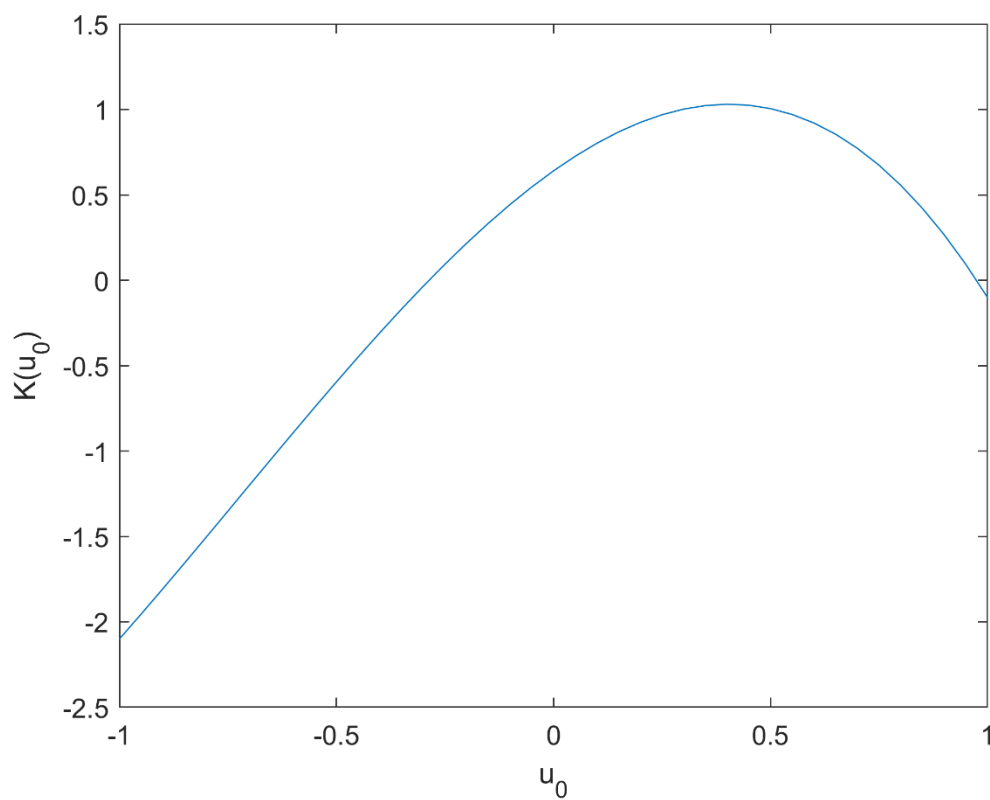
Wiemy, że dla transmitancji w dziedzinie z wzmocnienie statyczne otrzymujemy ze wzoru:

$$K_{\text{stat}}(\bar{u}) = \lim_{z \rightarrow 1} (G(z, \bar{u}))$$

Po podstawieniu otrzymujemy zależność:

$$K_{\text{stat}}(\bar{u}) = -\frac{4}{5} \bar{u}^3 - \frac{87}{50} \bar{u}^2 + \frac{9}{5} \bar{u} + \frac{16}{25}$$

Zależność $K_{\text{stat}}(\bar{u})$:



Wnioski:

Wzmocnienie statyczne w znaczący sposób zależy od punktu linearyzacji. Wynika to z charakteru obiektu, jest to kontynuacja zjawiska, które można było zaobserwować w przypadku porównywania charakterystyk statycznych i zlinearyzowanych dla obiektu dyskretnego (zad 6).

Wzmocnienie może wynosić od wartości -2 do 1, jest to znacząca różnica, pozostawiająca za sobą znaczące konsekwencje, które chociażby można zaobserwować na wykresach z Zad. 9, na których w przypadku linearyzacji w punkcie \bar{u} -0,5 oraz -0,85, sygnału dla układu zlinearyzowanego osiągnął ujemne wartości